

Modélisation d'une épidémie dans un campus universitaire

Codjo Ulrich Expéra AKAKPO

29 août 2025

Table des matières

1	Introduction	3
2	Contextualisation et modélisation	3
2.1	Modèle mathématique	3
2.2	Interprétation des équations	4
3	Résolution numérique	4
3.1	Méthode d'Euler explicite	5
3.1.1	Discrétisation temporelle et spatiale	5
3.1.2	Implémentation en Python	9
3.2	Méthode d'Euler implicite	11
3.2.1	Discrétisation temporelle et spatiale	11
3.2.2	Implémentation en Python	12
3.3	Méthode de Runge-Kutta d'ordre 4	16
3.3.1	Discrétisation temporelle et spatiale	16
3.3.2	Implémentation en Python	18
3.4	Conclusion	21
4	Stabilité Numérique et Condition CFL	22
4.1	Condition CFL pour l'EDO	22
4.2	Condition CFL pour l'EDP	23
5	Analyse de convergence	25
5.1	Définition de l'Erreur L2	25
5.1.1	Implémentation en Python	27
6	Application : adaptation du modèle à des mesures sanitaires localisées	35
6.1	Cours en présentiel : augmentation locale du taux de transmission	36
6.2	Confinement localisé : suppression de la diffusion inter-bâtiments	36
6.3	Vers un modèle réactif et dynamique	36
7	Conclusion	37
8	Références bibliographiques	38

1. Introduction

La propagation des maladies infectieuses est un phénomène complexe qui a depuis longtemps suscité l'intérêt des chercheurs, tant en biologie qu'en mathématiques. L'une des approches les plus influentes dans ce domaine est la modélisation mathématique des épidémies, dont l'objectif est de comprendre, prédire et contrôler la dynamique de transmission des agents pathogènes au sein d'une population.

Parmi les premiers à formaliser ce type de modélisation, on trouve les travaux pionniers de William Ogilvy Kermack et Anderson Gray McKendrick en 1927, qui ont introduit le célèbre modèle SIR (Susceptible-Infectious-Recovered). Ce modèle compartimente la population en trois groupes : les individus susceptibles d'être infectés (S), les individus infectieux (I), et ceux qui sont rétablis ou immunisés (R). Leur cadre mathématique simple mais puissant a jeté les bases de l'épidémiologie théorique moderne.

Depuis, le modèle SIR a été étendu et adapté à de nombreux contextes : maladies à immunité temporaire, modèles SEIR (ajout d'une phase d'incubation), dynamiques spatiales, effets de la vaccination, etc. Il constitue un outil essentiel pour les autorités sanitaires et les chercheurs, permettant par exemple d'estimer des seuils critiques de vaccination, ou de simuler l'impact de mesures de confinement.

Dans ce projet, nous nous appuyons sur une version enrichie du modèle SIR, qui prend en compte la diffusion spatiale de l'épidémie sur un réseau de bâtiments. Cette approche permet de capturer plus finement la réalité d'un campus universitaire, où les interactions entre individus sont fortement structurées par la géographie et l'architecture du lieu.

2. Contextualisation et modélisation

Dans ce projet, nous cherchons à modéliser la propagation d'une épidémie de grippe dans un campus universitaire composé de 20 bâtiments. Chaque bâtiment héberge une population d'individus qui peuvent interagir entre eux localement, mais également se déplacer d'un bâtiment à un autre. Ces déplacements sont responsables de la diffusion spatiale de la maladie à travers le campus.

Pour représenter ce phénomène, nous utilisons une version spatialisée du modèle SIR classique (Susceptibles – Infectés – Rétablis), formulée pour chaque bâtiment du campus.

2.1. Modèle mathématique

Pour chaque bâtiment i , on modélise l'évolution dans le temps des trois sous-populations suivantes :

- $S_i(t)$: nombre d'individus **susceptibles** (non infectés mais vulnérables),
- $I_i(t)$: nombre d'individus **infectés** (porteurs de la maladie et contagieux),
- $R_i(t)$: nombre d'individus **rétablis** (guéris ou immunisés).

Le système d'équations différentielles régissant cette dynamique est le suivant :

$$\frac{dS_i}{dt} = -\beta \frac{S_i I_i}{N_i} + D_S \nabla^2 S_i \quad (1)$$

$$\frac{dI_i}{dt} = \beta \frac{S_i I_i}{N_i} - \gamma I_i + D_I \nabla^2 I_i \quad (2)$$

$$\frac{dR_i}{dt} = \gamma I_i + D_R \nabla^2 R_i \quad (3)$$

où $N_i = S_i + I_i + R_i$ est la population totale du bâtiment i , et ∇^2 est l'opérateur de Laplace discret modélisant la diffusion entre bâtiments voisins.

2.2. Interprétation des équations

Équation (1) – Susceptibles :

- $\beta \frac{S_i I_i}{N_i}$: modélise la contamination des individus sains.
 - β est le **taux de transmission**, représentant la probabilité de contagion lors d'un contact.
 - $\frac{S_i I_i}{N_i}$ approxime le nombre de contacts susceptibles-infectés.
 - Ce terme diminue S_i .
- $+D_S \nabla^2 S_i$: représente la diffusion spatiale des susceptibles.
 - D_S est le coefficient de diffusion.
 - Ce terme modélise les mouvements de personnes saines entre bâtiments.

Équation (2) – Infectés :

- $\beta \frac{S_i I_i}{N_i}$: représente les nouvelles infections (même mécanisme que dans (1)).
- $-\gamma I_i$: modélise la guérison des personnes infectées.
 - γ est le **taux de guérison**.
 - Ce terme diminue I_i .
- $+D_I \nabla^2 I_i$: diffusion spatiale des individus infectés entre bâtiments.

Équation (3) – Rétablis :

- γI_i : individus infectés qui guérissent.
- $+D_R \nabla^2 R_i$: diffusion spatiale des rétablis (individus guéris ou immunisés).

Au total, ce système constitue un **modèle SIR spatialement distribué**, adapté à un environnement structuré (tel qu'un campus). Il combine deux dynamiques :

- Une dynamique épidémique **locale** (au sein de chaque bâtiment),
- Une dynamique **spatiale** (déplacements entre bâtiments).

3. Résolution numérique

Le système présenté est **non linéaire** et **couplé spatialement**, ce qui rend toute résolution analytique impossible pour un grand nombre de bâtiments. Pour obtenir une approximation de l'évolution temporelle de l'épidémie, nous recourons à des **méthodes numériques de discrétisation**.

Plus précisément, nous appliquons trois méthodes classiques :

- **La méthode d'Euler explicite** : rapide et simple à implémenter, mais sujette à des instabilités numériques pour certains pas de temps. Elle consiste à approximer la dérivée temporelle en évaluant le système à l'instant courant uniquement.
- **La méthode d'Euler implicite** : plus stable, nécessitant toutefois la *résolution d'un système non linéaire* à chaque pas de temps. Pour cela, nous utilisons la **méthode de Newton-Raphson**, permettant de linéariser et résoudre efficacement les équations implicites.
- **La méthode de Runge-Kutta d'ordre 4 (RK4)** : plus précise que les méthodes d'Euler, elle réalise plusieurs évaluations intermédiaires du système à chaque pas de temps. Elle offre un excellent compromis entre précision et complexité algorithmique, tout en restant explicite.

3.1. Méthode d'Euler explicite

3.1.1. Discrétisation temporelle et spatiale

a- Discrétisation temporelle

Les équations suivantes :

$$\begin{aligned}\frac{dS_i}{dt} &= f_S(S_i, I_i, R_i) \\ \frac{dI_i}{dt} &= f_I(S_i, I_i, R_i) \\ \frac{dR_i}{dt} &= f_R(S_i, I_i, R_i)\end{aligned}$$

seront approchées numériquement à chaque pas de temps Δt .

On approxime grâce aux différences centrées avant et on obtient :

$$\frac{dS_i}{dt} \approx \frac{S_i^{n+1} - S_i^n}{\Delta t}$$

Ce qui donne :

$$\begin{aligned}S_i^{n+1} &= S_i^n + \Delta t \left(-\beta \frac{S_i^n I_i^n}{N_i^n} + D_S \nabla^2 S_i^n \right) \\ I_i^{n+1} &= I_i^n + \Delta t \left(\beta \frac{S_i^n I_i^n}{N_i^n} - \gamma I_i^n + D_I \nabla^2 I_i^n \right) \\ R_i^{n+1} &= R_i^n + \Delta t \left(\gamma I_i^n + D_R \nabla^2 R_i^n \right)\end{aligned}$$

Avec :

- S_i^n : nombre de susceptibles dans le bâtiment i au temps $t = n\Delta t$
- Idem pour I_i^n, R_i^n
- S_i^{n+1} : valeur au temps suivant
- $\nabla^2 S_i$: approximé par une discrétisation spatiale (on verra dans la section suivante)

b- Discrétisation spatiale

Les équations de SIR qu'on a vues comprennent des termes de diffusion spatiale :

$$\nabla^2 S_i^n, \nabla^2 I_i^n, \nabla^2 R_i^n$$

Mais ici on ne travaille pas dans l'espace continu (comme sur une carte), mais dans un réseau de bâtiments connectés, comme un graphe. Soit

$$X_i^n = \{S_i^n, I_i^n, R_i^n\}$$

Il faut donc approximer $\nabla^2 X_i^n$ par une formule discrète adaptée à ce réseau.

* Méthode des Différences Finies

On utilise une formule réseau du Laplacien :

$$\nabla^2 X_i^n \approx \sum_{j \in \mathcal{V}(i)} \frac{X_j^n - X_i^n}{\Delta x^2}$$

Avec :

- $\mathcal{V}(i)$: voisins du bâtiment i
- Δx : distance entre les bâtiments (souvent normalisée à 1)

Cette formule indique que le gradient du bâtiment i dépend de la différence entre ses valeurs et celles de ses voisins.

Exemple : Si i a deux voisins j et k , alors :

$$\nabla^2 X_i \approx \frac{X_j - X_i}{\Delta x^2} + \frac{X_k - X_i}{\Delta x^2}$$

* Méthode des Volumes finis

La méthode des volumes finis repose sur un **principe de conservation** : la variation de la quantité I dans un volume de contrôle V_i est due au **flux net entrant** depuis ses voisins $j \in \mathcal{V}(i)$. Cela donne :

$$\frac{d}{dt} \int_{V_i} I dV = \sum_{j \in \mathcal{V}(i)} D \frac{I_j - I_i}{\Delta x} A_{ij}$$

où D est le coefficient de diffusion, A_{ij} l'aire d'interface entre i et j , et Δx leur distance. En divisant par le volume $|V_i|$, on obtient l'évolution ponctuelle de I_i :

$$\frac{dI_i}{dt} = \frac{1}{|V_i|} \sum_{j \in \mathcal{V}(i)} D \frac{I_j - I_i}{\Delta x} A_{ij}$$

Lien direct avec les différences finies

Si on choisit :

$$|V_i| = \Delta x, \quad A_{ij} = 1, \quad D = 1,$$

alors l'expression devient :

$$\frac{dI_i}{dt} = \sum_{j \in \mathcal{V}(i)} \frac{I_j - I_i}{\Delta x^2}$$

Ce qui correspond exactement à la **formule des différences finies centrées** du Laplacien :

$$\nabla^2 I_i \approx \sum_{j \in \mathcal{V}(i)} \frac{I_j - I_i}{\Delta x^2}$$

Ainsi, la méthode des volumes finis, fondée sur la conservation des flux, **généralise et justifie rigoureusement** la méthode des différences finies. Sur un graphe, cette interprétation permet de dériver naturellement le Laplacien discret :

$$\nabla^2 I_i \approx \sum_{j \in \mathcal{V}(i)} \frac{I_j - I_i}{\Delta x^2}$$

utilisé pour modéliser la diffusion inter-bâtiment dans notre système SIR.

Cette équivalence valide mathématiquement notre approche numérique, en garantissant à la fois cohérence physique (volumes finis) et simplicité d'implémentation (différences finies).

Système d'équations final après discrétisation temporelle et spatiale

On implémente donc finalement la méthode numérique :

$$\begin{aligned} S_i^{n+1} &= S_i^n + \Delta t \left(-\beta \frac{S_i I_i}{N_i} + D_S \sum_{j \in \mathcal{V}(i)} \frac{S_j - S_i}{\Delta x^2} \right) \\ I_i^{n+1} &= I_i^n + \Delta t \left(\beta \frac{S_i I_i}{N_i} - \gamma I_i + D_I \sum_{j \in \mathcal{V}(i)} \frac{I_j - I_i}{\Delta x^2} \right) \\ R_i^{n+1} &= R_i^n + \Delta t \left(\gamma I_i + D_R \sum_{j \in \mathcal{V}(i)} \frac{R_j - R_i}{\Delta x^2} \right) \end{aligned}$$

Algorithme d'implémentation

Algorithm 1 : Simulation SIR avec diffusion spatiale (Euler explicite)

- 1: Initialiser les populations S_i, I_i, R_i pour chaque bâtiment i et ses voisins \mathcal{V}_i
- 2: Définir les paramètres constants : β (taux de transmission), γ (taux de guérison), D_S, D_I, D_R (coefficients de diffusion), Δt (pas de temps), Δx (distance entre les bâtiments)
- 3: Définir le temps total T et calculer le nombre d'itérations $N = \frac{T}{\Delta t}$
- 4: **for** chaque pas de temps t allant de 0 à T avec un pas Δt **do**
- 5: **for** chaque bâtiment $i \in \{1, \dots, 20\}$ **do**
- 6: $N_i = S_i + I_i + R_i$
- 7: Calculer la diffusion :

$$\text{diff}_S = \sum_{j \in \mathcal{V}_i} (S_j - S_i), \quad \text{diff}_I = \sum_{j \in \mathcal{V}_i} (I_j - I_i), \quad \text{diff}_R = \sum_{j \in \mathcal{V}_i} (R_j - R_i)$$

- 8: Calculer les variations par Euler explicite :

$$\Delta S_i = -\beta \frac{S_i I_i}{N_i} + D_S \cdot \text{diff}_S$$

$$\Delta I_i = \beta \frac{S_i I_i}{N_i} - \gamma I_i + D_I \cdot \text{diff}_I$$

$$\Delta R_i = \gamma I_i + D_R \cdot \text{diff}_R$$

- 9: Mettre à jour les états :

$$S_i \leftarrow S_i + \Delta t \cdot \Delta S_i, \quad I_i \leftarrow I_i + \Delta t \cdot \Delta I_i, \quad R_i \leftarrow R_i + \Delta t \cdot \Delta R_i$$

- 10: **end for**
 - 11: Enregistrer les nouveaux états dans un historique pour visualisation
 - 12: **end for**
-

3.1.2. Implémentation en Python

Le code suivant implémente la simulation :

```

1 import matplotlib.pyplot as plt
2 import ipywidgets as widgets
3 from ipywidgets import interact
4 import copy
5
6 # Initialisation des batiments
7 buildings = {
8     1: {"S": 100, "I": 1, "R": 0, "neighbors": [2, 3]},
9     2: {"S": 120, "I": 0, "R": 0, "neighbors": [1, 4]},
10    3: {"S": 80, "I": 0, "R": 0, "neighbors": [1, 5]},
11    4: {"S": 150, "I": 0, "R": 0, "neighbors": [2, 6]},
12    5: {"S": 90, "I": 0, "R": 0, "neighbors": [3, 7]},
13    6: {"S": 110, "I": 0, "R": 0, "neighbors": [4, 8]},
14    7: {"S": 95, "I": 0, "R": 0, "neighbors": [5, 9]},
15    8: {"S": 130, "I": 0, "R": 0, "neighbors": [6, 10]},
16    9: {"S": 85, "I": 0, "R": 0, "neighbors": [7, 11]},
17    10: {"S": 100, "I": 0, "R": 0, "neighbors": [8, 12]},
18    11: {"S": 75, "I": 0, "R": 0, "neighbors": [9, 13]},
19    12: {"S": 140, "I": 0, "R": 0, "neighbors": [10, 14]},
20    13: {"S": 105, "I": 0, "R": 0, "neighbors": [11, 15]},
21    14: {"S": 115, "I": 0, "R": 0, "neighbors": [12, 16]},
22    15: {"S": 125, "I": 0, "R": 0, "neighbors": [13, 17]},
23    16: {"S": 135, "I": 0, "R": 0, "neighbors": [14, 18]},
24    17: {"S": 145, "I": 0, "R": 0, "neighbors": [15, 19]},
25    18: {"S": 155, "I": 0, "R": 0, "neighbors": [16, 20]},
26    19: {"S": 165, "I": 0, "R": 0, "neighbors": [17]},
27    20: {"S": 175, "I": 0, "R": 0, "neighbors": [18]},
28 }
29
30 # Parametres du modele
31 beta = 0.3      # Taux de transmission
32 gamma = 0.1     # Taux de guerison
33
34 D_S = 0.01      # Diffusion des S
35 D_I = 0.01      # Diffusion des I
36 D_R = 0.01      # Diffusion des R
37
38 dt = 0.1         # Pas de temps
39 dx = 1.0         # Pas spatial (non utilise ici mais pour
40                  # reference)
41 T = 50           # Duree totale
42 steps = int(T / dt)
43
44 # Implementation avec Euler explicite
45 # On suppose que "history" est une liste de snapshots de l'etat
46 # des batiments a chaque iteration
47 # Chaque element de history est un dict : {1: {"S": ..., "I":
48 # ..., "R": ...}, 2: {...}, ..., 20: {...}}
```

```

46
47 history = []
48
49 for t in range(steps):
50     new_buildings = copy.deepcopy(buildings)
51
52     for i in buildings:
53         S = buildings[i]["S"]
54         I = buildings[i]["I"]
55         R = buildings[i]["R"]
56         N = S + I + R
57
58         # Terme de diffusion
59         diffusion_S = sum((buildings[j]["S"] - S)/dx**2 for j in
60                             buildings[i]["neighbors"])
61         diffusion_I = sum((buildings[j]["I"] - I)/dx**2 for j
62                             in buildings[i]["neighbors"])
63         diffusion_R = sum((buildings[j]["R"] - R)/dx**2 for j
64                             in buildings[i]["neighbors"])
65
66         # Mises a jour selon Euler explicite
67         dS = -beta * S * I / N + D_S * diffusion_S
68         dI = beta * S * I / N - gamma * I + D_I * diffusion_I
69         dR = gamma * I + D_R * diffusion_R
70
71         new_buildings[i]["S"] += dt * dS
72         new_buildings[i]["I"] += dt * dI
73         new_buildings[i]["R"] += dt * dR
74
75     buildings = new_buildings
76     history.append(copy.deepcopy(buildings))
77
78 # Visualisation
79 def plot_SIR(building_id):
80     S_vals = [snapshot[building_id]["S"] for snapshot in history]
81     I_vals = [snapshot[building_id]["I"] for snapshot in history]
82     R_vals = [snapshot[building_id]["R"] for snapshot in history]
83
84     plt.figure(figsize=(10, 5))
85     plt.plot(S_vals, label="S (Susceptibles)", color='blue')
86     plt.plot(I_vals, label="I (Infect s)", color='red')
87     plt.plot(R_vals, label="R (R tablis)", color='green')
88     plt.title(f"volution SIR - B timent {building_id}")
89     plt.xlabel("Temps (it rations)")
90     plt.ylabel("Nombre d individus ")
91     plt.grid(True)
92     plt.legend()
93     plt.tight_layout()
94     plt.show()
95
96 # Widget interactif : selection du batiment (entre 1 et 20)

```

```
94 interact(plot_SIR, building_id=widgets.IntSlider(min=1, max=20,
    step=1, value=1, description="Bâtiment ID"))
```

Exemple

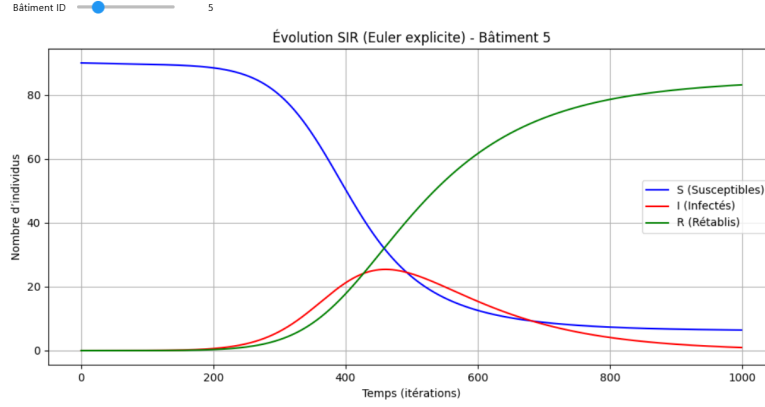


FIGURE 1 – Évolution SIR/ Euler explicite pour le bâtiment 5.

3.2. Méthode d'Euler implicite

3.2.1. Discrétisation temporelle et spatiale

À la différence de l'Euler explicite, ici les dérivées sont approchées en utilisant les valeurs au temps $n + 1$:

$$\frac{dS_i}{dt} \approx \frac{S_i^{n+1} - S_i^n}{\Delta t} \Rightarrow S_i^{n+1} = S_i^n + \Delta t \cdot f_S(S_i^{n+1}, I_i^{n+1}, R_i^{n+1})$$

De même pour I_i et R_i :

$$\begin{aligned} I_i^{n+1} &= I_i^n + \Delta t \cdot f_I(S_i^{n+1}, I_i^{n+1}, R_i^{n+1}) \\ R_i^{n+1} &= R_i^n + \Delta t \cdot f_R(S_i^{n+1}, I_i^{n+1}, R_i^{n+1}) \end{aligned}$$

Mise à jour du système d'équation

Les équations deviennent alors :

$$\begin{aligned} S_i^{n+1} &= S_i^n + \Delta t \left(-\beta \frac{S_i^{n+1} I_i^{n+1}}{N_i^{n+1}} + D_S \sum_{j \in \mathcal{V}(i)} \frac{S_j^{n+1} - S_i^{n+1}}{\Delta x^2} \right) \\ I_i^{n+1} &= I_i^n + \Delta t \left(\beta \frac{S_i^{n+1} I_i^{n+1}}{N_i^{n+1}} - \gamma I_i^{n+1} + D_I \sum_{j \in \mathcal{V}(i)} \frac{I_j^{n+1} - I_i^{n+1}}{\Delta x^2} \right) \\ R_i^{n+1} &= R_i^n + \Delta t \left(\gamma I_i^{n+1} + D_R \sum_{j \in \mathcal{V}(i)} \frac{R_j^{n+1} - R_i^{n+1}}{\Delta x^2} \right) \end{aligned}$$

Algorithme d'implémentation

Algorithm 2 Simulation SIR avec diffusion (Euler implicite)

```

1: Initialiser  $S_i, I_i, R_i$  pour chaque bâtiment  $i$ 
2: Fixer les paramètres  $\beta, \gamma, D_S, D_I, D_R, \Delta t$ 
3: for chaque temps  $t = 0, \Delta t, 2\Delta t, \dots$  do
4:   Initialiser les valeurs  $S_i^{n+1}, I_i^{n+1}, R_i^{n+1}$  par celles de  $n$ 
5:   repeat
6:     for chaque bâtiment  $i$  do
7:       Calculer  $N_i^{n+1} = S_i^{n+1} + I_i^{n+1} + R_i^{n+1}$ 
8:       Calculer les nouveaux  $S_i^{n+1}, I_i^{n+1}, R_i^{n+1}$  selon les équations implicites
9:     end for
10:  until convergence (variation inférieure à un seuil  $\epsilon$ )
11:  Enregistrer l'état
12: end for

```

3.2.2. Implémentation en Python

Le code suivant implémente la simulation :

```

1 import matplotlib.pyplot as plt
2 import ipywidgets as widgets
3 from ipywidgets import interact
4 import copy
5
6 # Param tres
7 beta = 0.3
8 gamma = 0.1
9 D_S = 0.01
10 D_I = 0.01
11 D_R = 0.01
12 dt = 0.1
13 dx = 1.0
14 T = 50
15 steps = int(T / dt)
16 dx2 = 1.0
17
18 # Initialisation
19 initial_buildings = {
20     1: {"S": 100, "I": 1, "R": 0, "neighbors": [2, 3]},
21     2: {"S": 120, "I": 0, "R": 0, "neighbors": [1, 4]},
22     3: {"S": 80, "I": 0, "R": 0, "neighbors": [1, 5]},
23     4: {"S": 150, "I": 0, "R": 0, "neighbors": [2, 6]},
24     5: {"S": 90, "I": 0, "R": 0, "neighbors": [3, 7]},
25     6: {"S": 110, "I": 0, "R": 0, "neighbors": [4, 8]},
26     7: {"S": 95, "I": 0, "R": 0, "neighbors": [5, 9]},
27     8: {"S": 130, "I": 0, "R": 0, "neighbors": [6, 10]},
28     9: {"S": 85, "I": 0, "R": 0, "neighbors": [7, 11]},
29     10: {"S": 100, "I": 0, "R": 0, "neighbors": [8, 12]},
30     11: {"S": 75, "I": 0, "R": 0, "neighbors": [9, 13]},
31     12: {"S": 140, "I": 0, "R": 0, "neighbors": [10, 14]},
32     13: {"S": 105, "I": 0, "R": 0, "neighbors": [11, 15]},
33     14: {"S": 115, "I": 0, "R": 0, "neighbors": [12, 16]},

```

```

34 15: {"S": 125, "I": 0, "R": 0, "neighbors": [13, 17]},
35 16: {"S": 135, "I": 0, "R": 0, "neighbors": [14, 18]},
36 17: {"S": 145, "I": 0, "R": 0, "neighbors": [15, 19]},
37 18: {"S": 155, "I": 0, "R": 0, "neighbors": [16, 20]},
38 19: {"S": 165, "I": 0, "R": 0, "neighbors": [17]},
39 20: {"S": 175, "I": 0, "R": 0, "neighbors": [18]},
40 }
41
42 def simulate_euler_implicite(buildings_init, steps):
43     # Copie de l' état initial des bâtiments pour ne pas
44     # modifier l'entrée originale
45     buildings = copy.deepcopy(buildings_init)
46
47     # Historique de l'évolution SIR chaque pas de temps
48     history = []
49
50     # Boucle principale de temps (de 0 à T avec un pas de dt)
51     for _ in range(steps):
52         # Initialisation des nouvelles valeurs de S, I, R pour
53         # tous les bâtiments
54         S_new = {i: buildings[i]["S"] for i in buildings}
55         I_new = {i: buildings[i]["I"] for i in buildings}
56         R_new = {i: buildings[i]["R"] for i in buildings}
57
58         # Méthode d'Euler implicite : on applique une
59         # résolution itérative par point fixe
60         for _ in range(20): # Nombre d'itérations de point
61             # Sauvegarde des valeurs précédentes (
62             # itération k-1)
63             S_prev = S_new.copy()
64             I_prev = I_new.copy()
65             R_prev = R_new.copy()
66
67             # Mise à jour de chaque bâtiment individuellement
68             for i in buildings:
69                 neighbors = buildings[i]["neighbors"] # Voisins
70                 # spatiaux
71                 Ni = S_prev[i] + I_prev[i] + R_prev[i] #
72                 # Population totale du bâtiment i
73
74                 # Terme de diffusion : somme des différences
75                 # avec les voisins
76                 diff_S = sum((S_prev[j] - S_prev[i])/dx**2 for
77                             j in neighbors)
78                 diff_I = sum((I_prev[j] - I_prev[i])/dx**2 for
79                             j in neighbors)
80                 diff_R = sum((R_prev[j] - R_prev[i])/dx**2 for
81                             j in neighbors)
82
83                 # Mise à jour des variables S, I, R selon le

```

```

    sch ma implicite
74     #  $S^{n+1}_i = S^n_i + dt \left[ - \frac{S^{n+1}_i I^{n+1}_i}{N + D} \right]$  (diffusion) ]
75     S_new[i] = buildings[i]["S"] + dt * (
76         -beta * S_prev[i] * I_prev[i] / Ni + D_S *
            diff_S / dx2
77     )
78     I_new[i] = buildings[i]["I"] + dt * (
79         beta * S_prev[i] * I_prev[i] / Ni - gamma *
            I_prev[i] + D_I * diff_I / dx2
80     )
81     R_new[i] = buildings[i]["R"] + dt * (
82         gamma * I_prev[i] + D_R * diff_R / dx2
83     )
84
85     # Mise à jour finale des valeurs des bâtiments avec
        les valeurs implicites convergées
86     for i in buildings:
87         buildings[i]["S"] = S_new[i]
88         buildings[i]["I"] = I_new[i]
89         buildings[i]["R"] = R_new[i]
90
91     # Enregistrement de l'état du système à cet instant
        dans l'historique
92     history.append(copy.deepcopy(buildings))
93
94     # Retourne l'évolution complète sur tout l'intervalle de
        temps
95     return history
96
97
98 # Simulation
99 history_implicit = simulate_euler_implicite(initial_buildings,
        steps)
100
101 # Affichage interactif
102 def plot_SIR_implicit(building_id):
103     S_vals = [snapshot[building_id]["S"] for snapshot in
        history_implicit]
104     I_vals = [snapshot[building_id]["I"] for snapshot in
        history_implicit]
105     R_vals = [snapshot[building_id]["R"] for snapshot in
        history_implicit]
106
107     plt.figure(figsize=(10, 5))
108     plt.plot(S_vals, label="S (Susceptibles)", color='blue')
109     plt.plot(I_vals, label="I (Infectés)", color='red')
110     plt.plot(R_vals, label="R (Récupérés)", color='green')
111     plt.title(f"Évolution SIR (Euler implicite) - Bâtiment
        {building_id}")
112     plt.xlabel("Temps (itérations)")

```

```
113 plt.ylabel("Nombre d individus ")
114 plt.grid(True)
115 plt.legend()
116 plt.tight_layout()
117 plt.show()
118
119 interact(plot_SIR_implicit, building_id=widgets.IntSlider(min=1,
    max=20, step=1, value=1, description="B timent"));
```

Exemple :

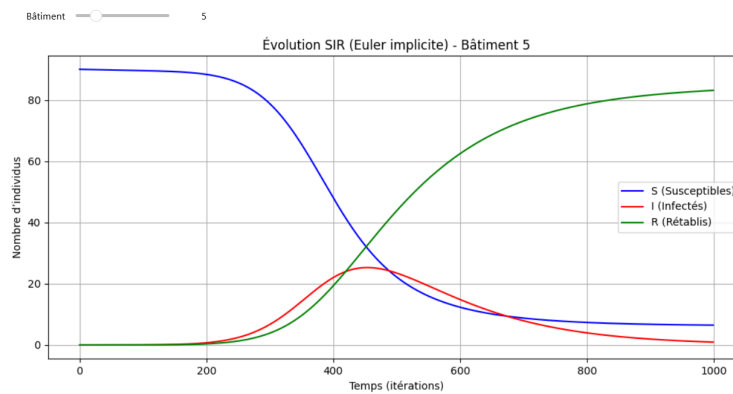


FIGURE 2 – Évolution SIR/ Euler implicite pour le bâtiment 5.

3.3. Méthode de Runge-Kutta d'ordre 4

Modèle Mathématique

Pour chaque bâtiment i :

$$\frac{dS_i}{dt} = -\beta \frac{S_i I_i}{N_i} + D_S \nabla^2 S_i, \quad (4)$$

$$\frac{dI_i}{dt} = \beta \frac{S_i I_i}{N_i} - \gamma I_i + D_I \nabla^2 I_i, \quad (5)$$

$$\frac{dR_i}{dt} = \gamma I_i + D_R \nabla^2 R_i, \quad (6)$$

où ∇^2 modélise la diffusion entre bâtiments voisins.

3.3.1. Discrétisation temporelle et spatiale

Différences Finies

Laplacien discretisé :

$$\nabla^2 I_i \approx \sum_{j \in \mathcal{V}_i} \frac{I_j - I_i}{\Delta x^2}.$$

Algorithme d'implémentation

Algorithm 3 Simulation SIR avec Méthode Runge-Kutta d'ordre 4

- 1: Initialiser les populations S_i, I_i, R_i pour chaque bâtiment i et leurs voisins \mathcal{V}_i
- 2: Définir les paramètres constants : β (taux d'infection), γ (taux de guérison), D_S, D_I, D_R (coefficients de diffusion), Δt (pas de temps), Δx (distance spatiale)
- 3: Définir le temps initial t_0 et le temps total t_{total}
- 4: Calculer le nombre d'itérations $n = \frac{t_{\text{total}} - t_0}{\Delta t}$
- 5: **for** each time step t from t_0 to t_{total} by Δt **do**
- 6: Sauvegarder les états actuels S_i^0, I_i^0, R_i^0 pour tous les bâtiments i
- 7: Calculer les dérivées k_{1S}, k_{1I}, k_{1R} avec S_i^0, I_i^0, R_i^0 :

$$k_{1S_i} = -\beta \frac{S_i^0 I_i^0}{S_i^0 + I_i^0 + R_i^0} + D_S \sum_{j \in \mathcal{V}_i} \frac{S_j^0 - S_i^0}{\Delta x^2}$$

$$k_{1I_i} = \beta \frac{S_i^0 I_i^0}{S_i^0 + I_i^0 + R_i^0} - \gamma I_i^0 + D_I \sum_{j \in \mathcal{V}_i} \frac{I_j^0 - I_i^0}{\Delta x^2}$$

$$k_{1R_i} = \gamma I_i^0 + D_R \sum_{j \in \mathcal{V}_i} \frac{R_j^0 - R_i^0}{\Delta x^2}$$

- 8: Calculer les états intermédiaires S_i^1, I_i^1, R_i^1 :

$$S_i^1 = S_i^0 + \frac{\Delta t}{2} k_{1S_i}, \quad I_i^1 = I_i^0 + \frac{\Delta t}{2} k_{1I_i}, \quad R_i^1 = R_i^0 + \frac{\Delta t}{2} k_{1R_i}$$

- 9: Calculer les dérivées k_{2S}, k_{2I}, k_{2R} avec S_i^1, I_i^1, R_i^1
- 10: Calculer les états intermédiaires S_i^2, I_i^2, R_i^2 :

$$S_i^2 = S_i^0 + \frac{\Delta t}{2} k_{2S_i}, \quad I_i^2 = I_i^0 + \frac{\Delta t}{2} k_{2I_i}, \quad R_i^2 = R_i^0 + \frac{\Delta t}{2} k_{2R_i}$$

- 11: Calculer les dérivées k_{3S}, k_{3I}, k_{3R} avec S_i^2, I_i^2, R_i^2
- 12: Calculer les états intermédiaires S_i^3, I_i^3, R_i^3 :

$$S_i^3 = S_i^0 + \Delta t k_{3S_i}, \quad I_i^3 = I_i^0 + \Delta t k_{3I_i}, \quad R_i^3 = R_i^0 + \Delta t k_{3R_i}$$

- 13: Calculer les dérivées k_{4S}, k_{4I}, k_{4R} avec S_i^3, I_i^3, R_i^3
- 14: Mettre à jour les populations :

$$S_i = S_i^0 + \frac{\Delta t}{6} (k_{1S_i} + 2k_{2S_i} + 2k_{3S_i} + k_{4S_i})$$

$$I_i = I_i^0 + \frac{\Delta t}{6} (k_{1I_i} + 2k_{2I_i} + 2k_{3I_i} + k_{4I_i})$$

$$R_i = R_i^0 + \frac{\Delta t}{6} (k_{1R_i} + 2k_{2R_i} + 2k_{3R_i} + k_{4R_i})$$

- 15: Enregistrer les états mis à jour pour l'analyse
 - 16: **end for**
-

3.3.2. Implémentation en Python

Le code suivant implémente la simulation :

```

1 import numpy as np
2 import matplotlib.pyplot as plt
3 import matplotlib
4 import seaborn as sns
5 from ipywidgets import interact, IntSlider
6 from IPython.display import display
7 import copy
8
9 # Initialisation des parametres
10 buildings = {
11     1: {"S": 100, "I": 1, "R": 0, "neighbors": [2, 3]},
12     2: {"S": 120, "I": 0, "R": 0, "neighbors": [1, 4]},
13     3: {"S": 80, "I": 0, "R": 0, "neighbors": [1, 5]},
14     4: {"S": 150, "I": 0, "R": 0, "neighbors": [2, 6]},
15     5: {"S": 90, "I": 0, "R": 0, "neighbors": [3, 7]},
16     6: {"S": 110, "I": 0, "R": 0, "neighbors": [4, 8]},
17     7: {"S": 95, "I": 0, "R": 0, "neighbors": [5, 9]},
18     8: {"S": 130, "I": 0, "R": 0, "neighbors": [6, 10]},
19     9: {"S": 85, "I": 0, "R": 0, "neighbors": [7, 11]},
20     10: {"S": 100, "I": 0, "R": 0, "neighbors": [8, 12]},
21     11: {"S": 75, "I": 0, "R": 0, "neighbors": [9, 13]},
22     12: {"S": 140, "I": 0, "R": 0, "neighbors": [10, 14]},
23     13: {"S": 105, "I": 0, "R": 0, "neighbors": [11, 15]},
24     14: {"S": 115, "I": 0, "R": 0, "neighbors": [12, 16]},
25     15: {"S": 125, "I": 0, "R": 0, "neighbors": [13, 17]},
26     16: {"S": 135, "I": 0, "R": 0, "neighbors": [14, 18]},
27     17: {"S": 145, "I": 0, "R": 0, "neighbors": [15, 19]},
28     18: {"S": 155, "I": 0, "R": 0, "neighbors": [16, 20]},
29     19: {"S": 165, "I": 0, "R": 0, "neighbors": [17]},
30     20: {"S": 175, "I": 0, "R": 0, "neighbors": [18]}
31 }
32
33 beta = 0.3          # taux d'infection
34 gamma = 0.1         # taux de gu rison
35 DS = 0.01          # diffusion S
36 DI = 0.01          # diffusion I
37 DR = 0.01          # diffusion R
38 dx = 1.0           # distance spatiale
39 temps_o = 0
40 temps_total = 100.0 # temps total de simulation
41 iteration = 500     #Nombre d'iteration
42 dt = (temps_total - temps_o)/iteration          # pas de temps
43
44
45 #Discr tisation spatiale (EDP)
46 def laplacian(var, i, buildings):
47     neighbors = buildings[i]["neighbors"]
48     return sum((var[j] - var[i]) / dx**2 for j in neighbors)

```

```

49
50
51 # Fonction de la methode de Runge Kutta a une seule itt ration
52 def rk4_step(buildings, dt):
53     def get_states():
54         S = {i: buildings[i]["S"] for i in buildings}
55         I = {i: buildings[i]["I"] for i in buildings}
56         R = {i: buildings[i]["R"] for i in buildings}
57         return S, I, R
58
59     S0, I0, R0 = get_states()
60
61     def deriv(S, I, R):
62         dS, dI, dR = {}, {}, {}
63         for i in buildings:
64             N = S[i] + I[i] + R[i]
65             dS[i] = -beta * S[i] * I[i] / N + DS * laplacian(S,
66                 i, buildings)
67             dI[i] = beta * S[i] * I[i] / N - gamma * I[i] + DI *
68                 laplacian(I, i, buildings)
69             dR[i] = gamma * I[i] + DR * laplacian(R, i,
70                 buildings)
71         return dS, dI, dR
72
73     # k1
74     k1S, k1I, k1R = deriv(S0, I0, R0)
75
76     # k2
77     S2 = {i: S0[i] + k1S[i]/2 for i in buildings}
78     I2 = {i: I0[i] + k1I[i]/2 for i in buildings}
79     R2 = {i: R0[i] + k1R[i]/2 for i in buildings}
80     k2S, k2I, k2R = deriv(S2, I2, R2)
81
82     # k3
83     S3 = {i: S0[i] + k2S[i]/2 for i in buildings}
84     I3 = {i: I0[i] + k2I[i]/2 for i in buildings}
85     R3 = {i: R0[i] + k2R[i]/2 for i in buildings}
86     k3S, k3I, k3R = deriv(S3, I3, R3)
87
88     # k4
89     S4 = {i: S0[i] + k3S[i] for i in buildings}
90     I4 = {i: I0[i] + k3I[i] for i in buildings}
91     R4 = {i: R0[i] + k3R[i] for i in buildings}
92     k4S, k4I, k4R = deriv(S4, I4, R4)
93
94     # Mise jour
95     for i in buildings:
96         buildings[i]["S"] += (dt/6) * (k1S[i] + 2*k2S[i] +
97             2*k3S[i] + k4S[i])
98         buildings[i]["I"] += (dt/6) * (k1I[i] + 2*k2I[i] +
99             2*k3I[i] + k4I[i])

```

```

95         buildings[i]["R"] += (dt/6) * (k1R[i] + 2*k2R[i] +
96             2*k3R[i] + k4R[i])
97
98     return buildings
99 # Calcul sur plusieurs itérations
100 temps = []
101 dict_list = []
102 for t in range(iteration):
103     temps.append(temps_o + t*dt)
104     dict_list.append(rk4_step(buildings, dt))
105     buildings = copy.deepcopy(dict_list[t])
106
107 import numpy as np
108
109 def construire_matrices(dict_list):
110     # Extraire et trier les identifiants des b timents
111     cles = sorted(dict_list[0].keys())
112
113     S_matrix = []
114     I_matrix = []
115     R_matrix = []
116
117     for i in cles:
118         ligne_S = [d[i]["S"] for d in dict_list]
119         ligne_I = [d[i]["I"] for d in dict_list]
120         ligne_R = [d[i]["R"] for d in dict_list]
121
122         S_matrix.append(ligne_S)
123         I_matrix.append(ligne_I)
124         R_matrix.append(ligne_R)
125
126     return np.array(S_matrix), np.array(I_matrix),
127         np.array(R_matrix)
128
129 S_matrix, I_matrix, R_matrix = construire_matrices(dict_list)
130
131 # Representation de la solution avec ipwidgets
132 # Th me esth tique
133 # plt.style.use('seaborn-darkgrid')
134 matplotlib.rcParams.update({'font.size': 12})
135
136 x_values = np.arange(S_matrix.shape[1])
137
138 # --- Fonction d'affichage ---
139 def plot_sir(batiment_index):
140     fig, ax = plt.subplots(figsize=(10, 6))
141
142     ax.plot(temps, S_matrix[batiment_index], label="Sains (S)",
143         color="#1f77b4", linewidth=2.5)

```

```

143 ax.plot(temps, I_matrix[batiment_index], label="Infectés (I)", color="#ff7f0e", linewidth=2.5)
144 ax.plot(temps, R_matrix[batiment_index], label="Rétablis (R)", color="#2ca02c", linewidth=2.5)
145
146 ax.set_title(f"Évolution SIR - Bâtiment {batiment_index + 1}", fontsize=15, weight='bold')
147 ax.set_xlabel("Temps", fontsize=13)
148 ax.set_ylabel("Population", fontsize=13)
149 ax.legend(loc="best", fontsize=12)
150 ax.grid(True, linestyle='--', alpha=0.6)
151 ax.set_ylim(0, max(S_matrix.max(), I_matrix.max(), R_matrix.max()) + 10)
152
153 plt.tight_layout()
154 plt.show()
155
156 # --- Interface avec slider ---
157 interact(plot_sir, batiment_index=IntSlider(min=0,
max=S_matrix.shape[0]-1, step=1, value=0,
description="Bâtiment"))

```

Exemple :

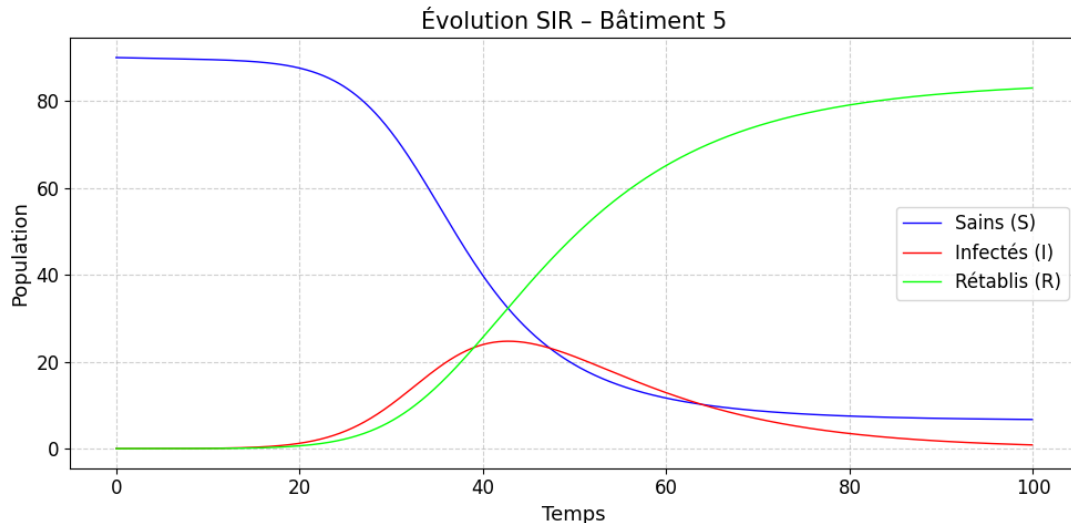


FIGURE 3 – Évolution SIR/ Runge - Kutta pour le bâtiment 5.

3.4. Conclusion

La simulation montre l'évolution des populations saines, infectées et rétablies dans chaque bâtiment, intégrant diffusion spatiale et dynamique temporelle.

4. Stabilité Numérique et Condition CFL

Nous montrons que la condition CFL pour le couplage EDO-EDP nécessite :

$$\Delta t \leq \min \left(\frac{2}{\beta + \gamma}, \frac{\Delta x^2}{D} \right)$$

4.1. Condition CFL pour l'EDO

Pour la forme EDO du modèle SIR, on a :

$$\begin{aligned} \frac{dS}{dt} &= -\frac{\beta SI}{N} \\ \frac{dI}{dt} &= \frac{\beta SI}{N} - \gamma I \\ \frac{dR}{dt} &= \gamma I \end{aligned}$$

Avec la discrétisation d'Euler explicite, on a :

$$\frac{dX}{dt} \approx \frac{X^{n+1} - X^n}{\Delta t}$$

Calcul pour S

$$\begin{aligned} S^{n+1} - S^n &= -\frac{\beta IS}{N} \Delta t \\ S^{n+1} &= S^n \left[1 - \frac{\beta I \Delta t}{N} \right] \end{aligned}$$

En posant $S^n = G^n$, on a :

$$G = 1 - \frac{\beta \Delta t I}{N}$$

Avec $|G| \leq 1$ et $-1 \leq 1 - \frac{\beta \Delta t I}{N} \leq 1$ et $-2 \leq -\frac{\beta \Delta t I^n}{N} \leq 0$, donc :

$$\Delta t \leq \frac{2}{\beta I / N} \quad (1)$$

Calcul pour I

Par analogie :

$$\begin{aligned} I^{n+1} &= I^n \left[1 + \left(\frac{\beta S}{N} - \gamma \right) \Delta t \right] \\ G &= 1 + \left(\frac{\beta S}{N} - \gamma \right) \Delta t \end{aligned}$$

On a $|G| \leq 1$:

$$\begin{aligned} -1 &\leq 1 + \left(\frac{\beta S}{N} - \gamma \right) \Delta t \leq 1 \\ -2 &\leq \left(\frac{\beta S}{N} - \gamma \right) \Delta t \leq 0 \end{aligned}$$

Donc :

$$\Delta t \leq \frac{2}{\frac{\beta S}{N} - \gamma} \quad (2)$$

Calcul pour R

De la même manière on a :

$$R^{n+1} = R^n(1 + \gamma\Delta t) \quad \text{et} \quad G = 1 + \gamma\Delta t$$

Avec $|G| \leq 1$ et $-1 \leq 1 + \gamma\Delta t \leq 1$ et $-2 \leq \gamma\Delta t \leq 0$, donc :

$$\Delta t \leq \frac{2}{-\gamma} \quad (3)$$

Pour assurer la stabilité du système, de (2) et (3) on prendra le minimum, soit :

$$\Delta t \leq \min \left(\frac{2}{\beta I/N}, \frac{2}{\frac{\beta S}{N} - \gamma}, \frac{2}{-\gamma} \right)$$

$$\Delta t \leq \frac{2}{\max \left(\frac{\beta I}{N}, \frac{\beta S}{N} - \gamma, -\gamma \right)}$$

Remarquons que :

$$\frac{\beta I}{N} \leq \beta + \gamma, \quad \frac{\beta S}{N} - \gamma \leq \beta + \gamma$$

$$-\gamma < \beta + \gamma \quad \text{car} \quad S \leq N, \quad I \leq N$$

donc :

$$\max \left(\frac{\beta I}{N}, \frac{\beta S}{N} - \gamma, -\gamma \right) \leq \beta + \gamma \quad (4)$$

Ainsi :

$$\Delta t \leq \frac{2}{\beta + \gamma} \quad (4)$$

4.2. Condition CFL pour l'EDP

Pour les EDPs, on ignore la contamination dans le bâtiment, on a donc :

$$\frac{dS}{dt} = D_S \nabla^2 S$$

$$\frac{dI}{dt} = D_I \nabla^2 I$$

$$\frac{dR}{dt} = D_R \nabla^2 R$$

Équations aux Différences

Les trois équations ont aussi la forme :

$$\frac{dX}{dt} = \alpha \nabla^2 X$$

Discrétisation spatiale

Avec la discrétisation par la méthode des volumes finis avec le nombre de voisins égale à 2 en 1D, cela donne même approximation que la différence finie. Par la méthode de la différence finie, on a :

$$\nabla^2 X \approx \frac{X^{n+1} - 2X^n + X^{n-1}}{\Delta x^2}$$

Discrétisation temporelle

Utilisons la méthode d'Euler explicite :

$$\frac{dX}{dt} \approx \frac{X^{n+1} - X^n}{\Delta t}$$

En somme, l'équation discrète est :

$$\frac{X_i^{n+1} - X_i^n}{\Delta t} = \alpha \frac{X_{i+1}^n - 2X_i^n + X_{i-1}^n}{\Delta x^2}$$

Posons

$$X_i^n = G^n e^{ikx_i} = G^n e^{iki\Delta x}$$

On a :

$$Ge^{iki\Delta x} = \frac{\alpha\Delta t}{\Delta x^2} [e^{ik(i+1)\Delta x} + e^{ik(i-1)\Delta x}] + \left(1 - 2\alpha\frac{\Delta t}{\Delta x^2}\right) e^{iki\Delta x}$$

$$Ge^{iki\Delta x} = \frac{\alpha\Delta t}{\Delta x^2} (e^{k\Delta x} + e^{-k\Delta x}) e^{iki\Delta x} + \left(1 - 2\alpha\frac{\Delta t}{\Delta x^2}\right) e^{iki\Delta x}$$

$$G = \frac{\alpha\Delta t}{\Delta x^2} [2\cos(k\Delta x)] + 1 - 2\alpha\frac{\Delta t}{\Delta x^2}$$

$$G = 1 + 2\frac{\alpha\Delta t}{\Delta x^2} [-1 + \cos(k\Delta x)]$$

$$G = 1 - 4\frac{\alpha\Delta t}{\Delta x^2} \left[\sin\left(\frac{k\Delta x}{2}\right)\right]^2$$

$$\sin\left(\frac{k\Delta x}{2}\right) \leq 1 \implies 1 - 4\frac{\alpha\Delta t}{\Delta x^2} \left[\sin\left(\frac{k\Delta x}{2}\right)\right]^2 \geq 1 - 4\frac{\alpha\Delta t}{\Delta x^2}$$

$$|G| \leq 1 \implies \left|1 - 4\frac{\alpha\Delta t}{\Delta x^2} \sin^2\left(\frac{k\Delta x}{2}\right)\right| \leq 1$$

$$|G| \leq 1 \implies \left|1 - 4\frac{\alpha\Delta t}{\Delta x^2}\right| \leq 1$$

$$-1 \leq 1 - 4\frac{\alpha\Delta t}{\Delta x^2} \leq 1$$

$$-2 \leq -4\frac{\alpha\Delta t}{\Delta x^2} \leq 0$$

$$\frac{\alpha\Delta t}{\Delta x^2} \leq \frac{1}{2}$$

$$\Delta t \leq \frac{1}{2} \frac{\Delta x^2}{\alpha}$$

Pour S on a $\Delta t \leq \frac{1}{2} \frac{\Delta x^2}{D_S}$,
 Pour I on a $\Delta t \leq \frac{1}{2} \frac{\Delta x^2}{D_I}$,
 Pour R on a $\Delta t \leq \frac{1}{2} \frac{\Delta x^2}{D_R}$

Pour garantir la stabilité du système :

$$\Delta t \leq \frac{1}{2} \frac{\Delta x^2}{\max(D_S, D_I, D_R)}$$

Ainsi :

$$\Delta t \leq \frac{\Delta x^2}{2D} \quad \text{avec} \quad D = \max(D_S, D_I, D_R)$$

Pour vérifier la stabilité dans les deux cas EDO et EDP il faut tel que :

$$\Delta t \leq m$$

Avec $m \leq \frac{2}{\beta+\gamma}$, $m \leq \frac{\Delta x^2}{2D}$
 soit :

$$\Delta t \leq \min \left(\frac{2}{\beta + \gamma}, \frac{\Delta x^2}{2D} \right)$$

Par conséquent, la condition CFL pour le couplage EDO-EDP s'écrit :

$$\Delta t \leq \min \left(\frac{2}{\beta + \gamma}, \frac{\Delta x^2}{2D} \right)$$

5. Analyse de convergence

5.1. Définition de l'Erreur L2

L'erreur L2 mesure la "distance" entre deux solutions sur un ensemble discret de points. Pour deux séquences de valeurs, u_i (par exemple, de la méthode RK4) et v_i (par exemple, de la méthode Euler implicite), à des pas de temps discrets $i = 0, 1, \dots, N - 1$, l'erreur L2 est définie comme :

$$\text{Erreur L2} = \sqrt{\Delta t \sum_{i=0}^{N-1} (u_i - v_i)^2}$$

Algorithme d'implémentation

Algorithm 4 Calcul de l'erreur L2 pour la comparaison des méthodes SIR

```

1: Initialiser les matrices  $S, I, R$  pour chaque bâtiment  $i$  pour les méthodes Euler im-
   plicite et RK4
2: Fixer les paramètres  $\beta = 0.3, \gamma = 0.1, D_S = D_I = D_R = 0.05, T = 50$ 
3: Définir les listes  $\Delta t = [0.1, 0.2, 0.3, 0.4, 0.5]$  et  $\Delta x = [0.5, 1.0, 1.5, 2.0, 2.5]$  pour Euler
   implicite
4: Fixer  $\Delta t_{\text{RK4}} = 0.01, \Delta x_{\text{RK4}} = 1.0$  pour RK4
5: Simuler le modèle SIR avec la méthode Euler implicite
6: for chaque  $\Delta t$  dans la liste des pas de temps do
7:   Calculer le nombre de pas :  $\text{steps} = \lfloor T/\Delta t \rfloor$ 
8:   for chaque  $\Delta x$  dans la liste des pas spatiaux do
9:     Initialiser les états des bâtiments à partir des conditions initiales
10:    for chaque pas de temps  $t = 0, \Delta t, \dots, T$  do
11:      Initialiser  $S_i^{n+1}, I_i^{n+1}, R_i^{n+1}$  avec les valeurs de  $n$ 
12:      repeat
13:        for chaque bâtiment  $i$  do
14:          Calculer  $N_i^{n+1} = S_i^{n+1} + I_i^{n+1} + R_i^{n+1}$ 
15:          Calculer les termes de diffusion :  $\sum_{j \in \text{voisins}} (S_j^{n+1} - S_i^{n+1})/\Delta x^2$ , et de
            même pour  $I$  et  $R$ 
16:          Mettre à jour  $S_i^{n+1}, I_i^{n+1}, R_i^{n+1}$  selon les équations implicites
17:        end for
18:      until convergence (variation inférieure à un seuil  $\epsilon$ )
19:      Enregistrer l'état dans les matrices  $S, I, R$ 
20:    end for
21:    Stocker les matrices avec la clé  $(\Delta t, \Delta x)$ 
22:  end for
23: end for
24: Simuler le modèle SIR avec la méthode RK4
25: for chaque pas de temps  $t = 0, 0.01, \dots, T$  do
26:   Calculer les coefficients RK4 ( $k_1, k_2, k_3, k_4$ ) pour  $S, I, R$ 
27:   for chaque bâtiment  $i$  do
28:     Mettre à jour  $S_i, I_i, R_i$  en utilisant la moyenne pondérée des coefficients
29:   end for
30:   Enregistrer l'état dans les matrices  $S, I, R$ 
31: end for

```

Calculer les erreurs L2

```

for chaque type de population ( $S, I, R$ ) do
  for chaque  $\Delta x$  dans la liste des pas spatiaux do
    Initialiser une matrice d'erreurs pour les 20 bâtiments et les 5 valeurs de  $\Delta t$ 
    for chaque bâtiment  $i = 1, 2, \dots, 20$  do
      for chaque  $\Delta t$  dans la liste des pas de temps do
        Initialiser la somme des erreurs à 0
        for chaque pas de temps  $j$  dans la matrice Euler implicite do
          Trouver le pas de temps RK4 correspondant :  $\text{pos} = \lfloor (j \cdot \Delta t) / 0.01 \rfloor$ 
          Calculer la différence au carré :  $(\text{valeur Euler}[j] - \text{valeur RK4}[\text{pos}])^2$ 
          Ajouter la différence au carré à la somme des erreurs
        end for
        Calculer l'erreur L2 :  $\sqrt{\Delta t \cdot \text{somme des erreurs}}$ 
        Stocker l'erreur L2 dans la matrice d'erreurs
      end for
    end for
  end for
  Stocker la matrice d'erreurs avec la clé  $\Delta x$ 
end for
Visualiser les résultats
Créer des curseurs pour sélectionner  $\Delta x$  et le bâtiment
Afficher un graphique des erreurs L2 pour  $S, I, R$  en fonction de  $\Delta t$ 

```

5.1.1. Implémentation en Python

Le code suivant implémente la simulation :

```

1 import matplotlib.pyplot as plt
2 import ipywidgets as widgets
3 import matplotlib
4 from ipywidgets import interact, IntSlider, FloatSlider
5 import numpy as np
6 import copy
7
8 # Initialisation
9 initial_buildings = {
10     1: {"S": 100, "I": 1, "R": 0, "neighbors": [2, 3]},
11     2: {"S": 120, "I": 0, "R": 0, "neighbors": [1, 4]},
12     3: {"S": 80, "I": 0, "R": 0, "neighbors": [1, 5]},
13     4: {"S": 150, "I": 0, "R": 0, "neighbors": [2, 6]},
14     5: {"S": 90, "I": 0, "R": 0, "neighbors": [3, 7]},
15     6: {"S": 110, "I": 0, "R": 0, "neighbors": [4, 8]},
16     7: {"S": 95, "I": 0, "R": 0, "neighbors": [5, 9]},
17     8: {"S": 130, "I": 0, "R": 0, "neighbors": [6, 10]},
18     9: {"S": 85, "I": 0, "R": 0, "neighbors": [7, 11]},
19     10: {"S": 100, "I": 0, "R": 0, "neighbors": [8, 12]},
20     11: {"S": 75, "I": 0, "R": 0, "neighbors": [9, 13]},
21     12: {"S": 140, "I": 0, "R": 0, "neighbors": [10, 14]},
22     13: {"S": 105, "I": 0, "R": 0, "neighbors": [11, 15]},
23     14: {"S": 115, "I": 0, "R": 0, "neighbors": [12, 16]},

```

```

24     15: {"S": 125, "I": 0, "R": 0, "neighbors": [13, 17]},
25     16: {"S": 135, "I": 0, "R": 0, "neighbors": [14, 18]},
26     17: {"S": 145, "I": 0, "R": 0, "neighbors": [15, 19]},
27     18: {"S": 155, "I": 0, "R": 0, "neighbors": [16, 20]},
28     19: {"S": 165, "I": 0, "R": 0, "neighbors": [17]},
29     20: {"S": 175, "I": 0, "R": 0, "neighbors": [18]},
30 }
31
32
33     # Debut euler implicite pour plusieurs combinaison de dt
34     et dx
35
36 # Param tres
37 beta = 0.3
38 gamma = 0.1
39 D_S = 0.05
40 D_I = 0.05
41 D_R = 0.05
42 T = 50
43 To = 0
44 list_dx = [1/2, 2/2, 3/2, 4/2, 5/2]
45 list_dt = [0.1*i for i in range(1, 6)]
46 # D = max(D_I, D_R, D_S)
47 # list_dx = np.linspace(0.01, 0.1, 101)[:5]
48 # list_dt = []
49 # for i in range(5):
50 #     dx_i = list_dx[i]
51 #     list_dt.append(round(min(2/(gamma+beta), (dx_i**2)/(2*D)),
52 # 5))
53
54 for dt in list_dx:
55     steps = int(T / dt)
56     for dx in list_dx:
57         dx2 = dx**2
58         def simulate_euler_implicite(buildings_init, steps):
59             buildings = copy.deepcopy(buildings_init)
60             history = []
61             for _ in range(steps):
62                 S_new = {i: buildings[i]["S"] for i in buildings}
63                 I_new = {i: buildings[i]["I"] for i in buildings}
64                 R_new = {i: buildings[i]["R"] for i in buildings}
65
66                 for _ in range(20): # It ration de point fixe
67                     S_prev = S_new.copy()
68                     I_prev = I_new.copy()
69                     R_prev = R_new.copy()
70
71                     for i in buildings:
72                         neighbors = buildings[i]["neighbors"]
73                         Ni = S_prev[i] + I_prev[i] + R_prev[i]
74
75                         diff_S = sum(S_prev[j] - S_prev[i] for j

```

```

73         in neighbors)
diff_I = sum(I_prev[j] - I_prev[i] for j
74         in neighbors)
diff_R = sum(R_prev[j] - R_prev[i] for j
75         in neighbors)
76
S_new[i] = buildings[i]["S"] + dt *
(-beta * S_prev[i] * I_prev[i] / Ni +
D_S * diff_S / dx2)
77
I_new[i] = buildings[i]["I"] + dt *
(beta * S_prev[i] * I_prev[i] / Ni -
gamma * I_prev[i] + D_I * diff_I / dx2)
78
R_new[i] = buildings[i]["R"] + dt *
(gamma * I_prev[i] + D_R * diff_R /
dx2)
79
80     for i in buildings:
81         buildings[i]["S"] = S_new[i]
82         buildings[i]["I"] = I_new[i]
83         buildings[i]["R"] = R_new[i]
84
85     history.append(copy.deepcopy(buildings))
86     return history
87
88 # Simulation
89 history_implicit =
simulate_euler_implicite(initial_buildings, steps)
90
91 S_matrix = np.zeros((len(initial_buildings), steps))
92 I_matrix = np.zeros((len(initial_buildings), steps))
93 R_matrix = np.zeros((len(initial_buildings), steps))
94 for i in range(1, 21):
95     S_matrix[i-1, :] = [snapshot[i]["S"] for snapshot in
history_implicit]
96     I_matrix[i-1, :] = [snapshot[i]["I"] for snapshot in
history_implicit]
97     R_matrix[i-1, :] = [snapshot[i]["R"] for snapshot in
history_implicit]
98
99 # Global storage for all results
100 all_S_matrices = {}
101 all_I_matrices = {}
102 all_R_matrices = {}
103
104 for dt in list_dt:
105     steps = int(T / dt)
106     for dx in list_dx:
107         dx2 = dx**2
108
109     def simulate_euler_implicite(buildings_init, steps):
110         buildings = copy.deepcopy(buildings_init)

```

```

111     history = []
112     for _ in range(steps):
113         S_new = {i: buildings[i]["S"] for i in buildings}
114         I_new = {i: buildings[i]["I"] for i in buildings}
115         R_new = {i: buildings[i]["R"] for i in buildings}
116
117         for _ in range(20): # Fixed-point iteration
118             S_prev = S_new.copy()
119             I_prev = I_new.copy()
120             R_prev = R_new.copy()
121
122             for i in buildings:
123                 neighbors = buildings[i]["neighbors"]
124                 Ni = S_prev[i] + I_prev[i] + R_prev[i]
125
126                 diff_S = sum(S_prev[j] - S_prev[i] for j
127                             in neighbors)
128                 diff_I = sum(I_prev[j] - I_prev[i] for j
129                             in neighbors)
130                 diff_R = sum(R_prev[j] - R_prev[i] for j
131                             in neighbors)
132
133                 S_new[i] = buildings[i]["S"] + dt *
134                     (-beta * S_prev[i] * I_prev[i] / Ni +
135                      D_S * diff_S / dx2)
136                 I_new[i] = buildings[i]["I"] + dt *
137                     (beta * S_prev[i] * I_prev[i] / Ni -
138                      gamma * I_prev[i] + D_I * diff_I / dx2)
139                 R_new[i] = buildings[i]["R"] + dt *
140                     (gamma * I_prev[i] + D_R * diff_R /
141                      dx2)
142
143             for i in buildings:
144                 buildings[i]["S"] = S_new[i]
145                 buildings[i]["I"] = I_new[i]
146                 buildings[i]["R"] = R_new[i]
147
148             history.append(copy.deepcopy(buildings))
149     return history
150
151 # Simulation
152 history_implicit =
153     simulate_euler_implicite(copy.deepcopy(initial_buildings),
154                             steps)
155
156 S_matrix = np.zeros((len(initial_buildings), steps))
157 I_matrix = np.zeros((len(initial_buildings), steps))
158 R_matrix = np.zeros((len(initial_buildings), steps))
159
160 for i in range(1, len(initial_buildings) + 1): # Iterate
161     through building IDs

```

```

150         S_matrix[i-1, :] = [snapshot[i]["S"] for snapshot in
                               history_implicit]
151         I_matrix[i-1, :] = [snapshot[i]["I"] for snapshot in
                               history_implicit]
152         R_matrix[i-1, :] = [snapshot[i]["R"] for snapshot in
                               history_implicit]
153
154         # Store the matrices using a unique key (e.g., a tuple
           of dt and dx)
155         key = (dt, dx)
156         all_S_matrices[key] = S_matrix
157         all_I_matrices[key] = I_matrix
158         all_R_matrices[key] = R_matrix
159
160     # Example of how to access a specific matrix:
161     # If you want the S_matrix for dt=0.1 and dx=1.0:
162     s_matrix_for_0_1_1_0 = all_S_matrices[(0.1, 1.0)]
163     print(f"Shape of S_matrix for dt=0.1, dx=1.0:
           {s_matrix_for_0_1_1_0.shape}")
164
165     # Debut runge kutta
166     DS = D_S
167     DI = D_I
168     DR = D_R
169
170     dx = 1.0           # distance spatiale
171     dt = 0.01          # pas de temps
172     temps_o = To
173     temps_total = T    # temps total de simulation
174     iteration = (temps_total - temps_o)/dt          # pas de temps
175
176     def laplacian(var, i, buildings):
177         neighbors = buildings[i]["neighbors"]
178         return sum((var[j] - var[i]) / dx**2 for j in neighbors)
179
180     def rk4_step(buildings, dt):
181         def get_states():
182             S = {i: buildings[i]["S"] for i in buildings}
183             I = {i: buildings[i]["I"] for i in buildings}
184             R = {i: buildings[i]["R"] for i in buildings}
185             return S, I, R
186
187         S0, I0, R0 = get_states()
188
189         def deriv(S, I, R):
190             dS, dI, dR = {}, {}, {}
191             for i in buildings:
192                 N = S[i] + I[i] + R[i]
193                 dS[i] = -beta * S[i] * I[i] / N + DS * laplacian(S,
                             i, buildings)
194                 dI[i] = beta * S[i] * I[i] / N - gamma * I[i] + DI *

```

```

        laplacian(I, i, buildings)
    dR[i] = gamma * I[i] + DR * laplacian(R, i,
        buildings)
    return dS, dI, dR

# k1
k1S, k1I, k1R = deriv(S0, I0, R0)

# k2
S2 = {i: S0[i] + k1S[i]/2 for i in buildings}
I2 = {i: I0[i] + k1I[i]/2 for i in buildings}
R2 = {i: R0[i] + k1R[i]/2 for i in buildings}
k2S, k2I, k2R = deriv(S2, I2, R2)

# k3
S3 = {i: S0[i] + k2S[i]/2 for i in buildings}
I3 = {i: I0[i] + k2I[i]/2 for i in buildings}
R3 = {i: R0[i] + k2R[i]/2 for i in buildings}
k3S, k3I, k3R = deriv(S3, I3, R3)

# k4
S4 = {i: S0[i] + k3S[i] for i in buildings}
I4 = {i: I0[i] + k3I[i] for i in buildings}
R4 = {i: R0[i] + k3R[i] for i in buildings}
k4S, k4I, k4R = deriv(S4, I4, R4)

# Mise jour
for i in buildings:
    buildings[i]["S"] += (dt/6) * (k1S[i] + 2*k2S[i] +
        2*k3S[i] + k4S[i])
    buildings[i]["I"] += (dt/6) * (k1I[i] + 2*k2I[i] +
        2*k3I[i] + k4I[i])
    buildings[i]["R"] += (dt/6) * (k1R[i] + 2*k2R[i] +
        2*k3R[i] + k4R[i])

    return buildings

temps = []
dict_list = []
buildings = copy.deepcopy(initial_buildings)
for t in range(int(iteration)):
    temps.append(temps_o + t*dt)
    dict_list.append(rk4_step(buildings, dt))
    buildings = copy.deepcopy(dict_list[t])

def construire_matrices(dict_list):
    # Extraire et trier les identifiants des b timents
    cles = sorted(dict_list[0].keys())

```



```

241 S_matrix = []
242 I_matrix = []
243 R_matrix = []
244
245 for i in cles:
246     ligne_S = [d[i]["S"] for d in dict_list]
247     ligne_I = [d[i]["I"] for d in dict_list]
248     ligne_R = [d[i]["R"] for d in dict_list]
249
250     S_matrix.append(ligne_S)
251     I_matrix.append(ligne_I)
252     R_matrix.append(ligne_R)
253
254     return np.array(S_matrix), np.array(I_matrix),
255           np.array(R_matrix)
256
257 S_matrix, I_matrix, R_matrix = construire_matrices(dict_list)
258
259 def return_diff_squared(i, dt, dt_var, dx_var, matrix_rk,
260 big_matrix):
261     error_i = 0
262     for j in range(big_matrix[(dt_var, dx_var)].shape[1]):
263         pos = int((j*dt_var)/dt)
264         error_i += (big_matrix[(dt_var, dx_var)][i, j] -
265                     matrix_rk[i, pos])**2
266     error_i = (dt_var*error_i)**(1/2)
267     return error_i
268
269 all_error_matrix = np.zeros(len(list_dx))
270 all_S_error = {}
271 all_I_error = {}
272 all_R_error = {}
273
274 for matrix_rk, big_matrix, lettre in zip([S_matrix, I_matrix,
275 R_matrix], [all_S_matrices, all_I_matrices, all_R_matrices],
276 ["S", "I", "R"]):
277     for j in range(len(list_dx)):
278         dx_var = list_dx[j]
279         error_matrix = np.zeros((len(initial_buildings),
280 len(list_dt)))
281         for i in range(len(initial_buildings)):
282             for k in range(len(list_dt)):
283                 dt_var = list_dt[k]
284                 error_matrix[i,k] = return_diff_squared(i, dt,
285 dt_var, dx_var, matrix_rk, big_matrix)
286
287         key = (dx_var)
288         if lettre == "S":
289             all_S_error[key] = error_matrix
290         if lettre == "I":
291             all_I_error[key] = error_matrix

```

```

285         if lettre == "R":
286             all_R_error[key] = error_matrix
287
288
289 # X-axis values
290 x_values = list_dt
291
292 # Create sliders
293 key_slider = widgets.FloatSlider(
294     value=0.5,
295     min=0.5,
296     max=2.5,
297     step=0.5,
298     description='Delta x:',
299     continuous_update=False
300 )
301
302 row_slider = widgets.IntSlider(
303     value=0,
304     min=0,
305     max=19,
306     step=1,
307     description='Batiment:',
308     continuous_update=False
309 )
310
311 # Output widget for the plot
312 output = widgets.Output()
313
314 # Function to update the plot
315 def update_plot(change):
316     with output:
317         clear_output(wait=True)
318         key = key_slider.value
319         row = row_slider.value
320         S_values = all_S_error[key][row]
321         I_values = all_I_error[key][row]
322         R_values = all_R_error[key][row]
323
324         plt.figure(figsize=(15, 5))
325         plt.plot(x_values, S_values, label="Sains (S)",
326                 color="#0d00ff", linewidth=1)
327         plt.plot(x_values, I_values, label="Infect s (I)",
328                 color="#ff0000", linewidth=1)
329         plt.plot(x_values, R_values, label="R tablis (R)",
330                 color="#04ff04", linewidth=1)
331         plt.title(f'Batiment {row+1} - Delta {key+1}')
332         plt.xlabel('Delta t')
333         plt.ylabel('Erreur')
334         plt.legend()
335         plt.grid(True)

```

```

333     plt.show()
334
335 # Connect sliders to the update function
336 key_slider.observe(update_plot, names='value')
337 row_slider.observe(update_plot, names='value')
338
339 # Display sliders and initial plot
340 display(key_slider, row_slider, output)
341
342 # Initial plot
343 update_plot(None)

```

Exemple :

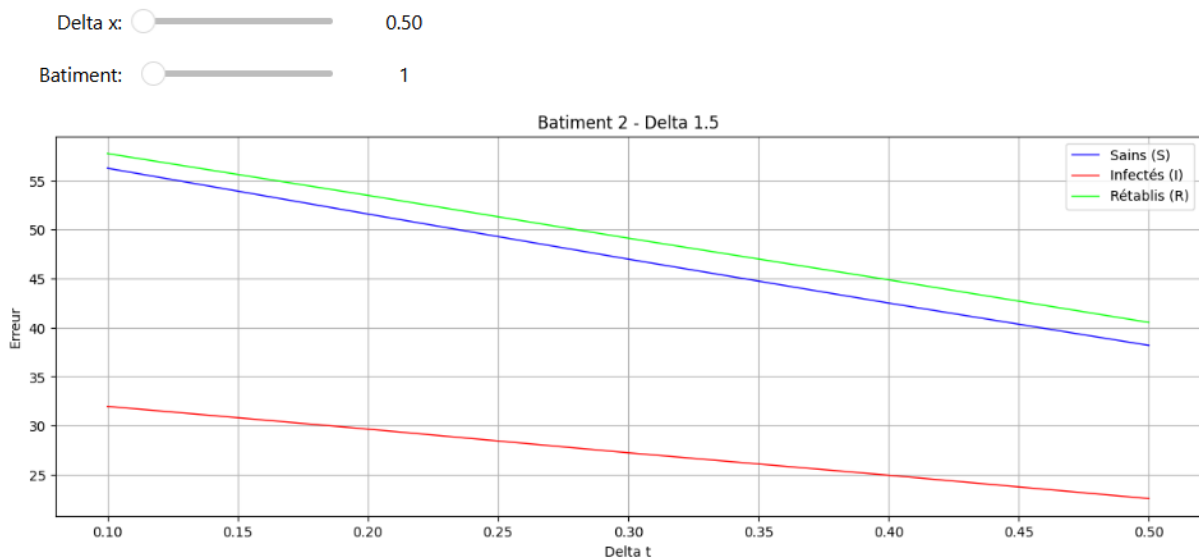


FIGURE 4 – Erreur SIR/ Runge Kutta - Implicite pour le bâtiment 2 Δt (de 0.10 à 0.50), avec un pas spatial Δx fixé à 0.50.

Les courbes représentent les erreurs pour les populations Sains (bleu), Infectés (rouge) et Rétablis (vert), qui diminuent progressivement à mesure que Δt augmente. Cela indique que l'erreur entre la méthode Euler implicite et la méthode Runge-Kutta 4 devient plus faible avec des pas de temps plus grands, suggérant que les deux méthodes convergent vers des résultats similaires dans cette plage de Δt .

6. Application : adaptation du modèle à des mesures sanitaires localisées

Le modèle SIR spatial présenté précédemment peut être étendu et adapté pour simuler différents scénarios de gestion de l'épidémie sur un campus universitaire. Deux types d'interventions sont particulièrement pertinents dans un tel contexte : l'organisation des cours en présentiel (ou à distance), et l'instauration de confinements localisés dans certains

bâtiments. Ces mesures influencent directement les paramètres du modèle, en particulier le taux de transmission β et les coefficients de diffusion D_S, D_I, D_R .

6.1. Cours en présentiel : augmentation locale du taux de transmission

Lorsqu'un bâtiment accueille des cours en présentiel, les interactions entre individus y sont accrues. Cela se traduit, dans le modèle, par une augmentation locale du taux de transmission β . Plus précisément :

- On considère que, pour les bâtiments i où les cours sont maintenus en présentiel, le paramètre β_i est augmenté par rapport à sa valeur de base. Cette augmentation peut être calibrée en fonction du taux d'occupation ou de la densité d'étudiants.
- Mathématiquement, cela revient à introduire un paramètre $\beta_i(t)$ dépendant à la fois du bâtiment i et du temps, permettant de modéliser des changements dans l'organisation pédagogique au fil de l'épidémie.
- Le terme de contamination $\frac{\beta_i(t)S_iI_i}{N_i}$ devient alors spécifique à chaque bâtiment, ce qui introduit une hétérogénéité spatiale dans la propagation.

Cette adaptation permet de simuler des effets localisés tels qu'une flambée épidémique dans un amphithéâtre très fréquenté ou dans une résidence universitaire où les contacts sont nombreux.

6.2. Confinement localisé : suppression de la diffusion inter-bâtiments

Une autre mesure réaliste consiste à restreindre les déplacements entre certains bâtiments (fermeture, isolement, confinement temporaire). Dans le modèle, cela se traduit par une réduction, voire une annulation, des termes de diffusion spatiale.

- Pour un bâtiment confiné i , on impose $D_S^{(i)} = D_I^{(i)} = D_R^{(i)} = 0$, ce qui bloque la diffusion des populations S, I et R vers ou depuis ce bâtiment.
- Le système d'équations devient alors localisé pour ce bâtiment : il évolue indépendamment des autres, en fonction uniquement de sa dynamique interne (contagion et guérison locale).
- Cela permet de simuler des politiques de quarantaine ciblée ou de cloisonnement spatial (zones rouges sur le campus).

Cette modification modélise efficacement l'impact d'une stratégie de containment, et permet d'en analyser l'efficacité : quelle est la propagation de l'épidémie si l'on isole précocement un bâtiment infecté ?

6.3. Vers un modèle réactif et dynamique

Les deux stratégies précédentes peuvent être combinées dans un cadre plus général :

- Chaque paramètre du modèle devient une fonction dépendant du temps et de l'espace : $\beta_i(t)$, $D_S^{(i)}(t)$, etc.

- Des règles de gestion peuvent être implémentées : *si* $I_i(t) > \theta$, *alors* $D^{(i)} \leftarrow 0$ (confinement automatique en cas de dépassement d'un seuil d'alerte).
- Ce cadre permet de simuler des scénarios adaptatifs, proches des réalités de terrain : détection, réaction, adaptation continue.

Résumé

L'adaptabilité du modèle SIR avec diffusion permet de tester numériquement diverses politiques sanitaires ciblées. Grâce à la modulation locale des paramètres β et D , il est possible de simuler l'impact de mesures concrètes telles que les cours en présentiel ou les confinements partiels, d'anticiper les effets systémiques et d'orienter la prise de décision dans un contexte universitaire.

7. Conclusion

En définitive, ce projet nous a permis d'explorer en profondeur la modélisation d'une épidémie sur un campus universitaire à travers un modèle SIR spatial. À partir du modèle mathématique initial, nous avons formalisé un système d'équations différentielles prenant en compte la dynamique des contaminations, des guérisons, mais aussi la mobilité entre les bâtiments.

Pour simuler cette dynamique, nous avons implémenté trois méthodes numériques complémentaires que sont la méthode d'Euler explicite, la méthode d'Euler implicite et la méthode de Runge-Kutta d'ordre 4.

Ces outils nous ont permis de comparer les comportements, les performances et la stabilité de chaque méthode face à un même scénario épidémique.

Ce travail met ainsi en lumière l'intérêt des modèles mathématiques couplés à des méthodes numériques robustes pour comprendre et anticiper l'évolution d'une épidémie dans un environnement structuré. Il ouvre également des perspectives pour intégrer des stratégies sanitaires réalistes, comme des confinements partiels, la fermeture de certains bâtiments ou l'ajustement de la mobilité.

Enfin, cette modélisation constitue une base solide pour des extensions plus complexes, comme l'introduction de paramètres dynamiques, la vaccination ou la prise en compte du comportement humain.

8. Références bibliographiques

1. <https://fr.m.wikipedia.org/wiki/Mod>
2. <https://matplotlib.org/stable/users/index.html>
3. <https://ipywidgets.readthedocs.io/en/stable/>
4. <https://ipython.readthedocs.io/en/stable/api/generated/IPython.display.html>
5. <https://numpy.org/doc/stable/>
6. <https://docs.python.org/3/library/copy.html>
7. Finite Difference Methods for Ordinary and Partial Differential ...